

Produção de monopólos magnéticos em colisões periféricas

Jean Torres Reis

Orientador: Dr. Werner Krambeck Sauter

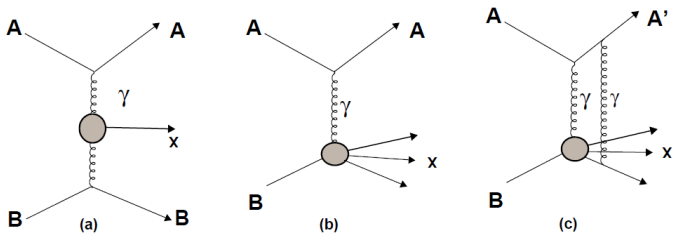
Curso de Pós-Graduação em Física
Universidade Federal de Pelotas - UFPEL

16 de outubro de 2015

- Colisões periféricas
- Fluxo de Fótons
- Tratamento dos monopólos
- Seção de Choque de Fotoprodução
- Conclusões
- Referências

Colisões Periféricas

Colisões periféricas são interações onde os fótons podem interagir com o outro fóton, com os constituintes do alvo.



O parâmetro de impacto é escolhido para ser maior que a soma dos raios dos hadrons $b = R_1 + R_2$

Podemos calcular a seção de choque da interação entre os hadrons através da equação:

$$\sigma(A_1 + A_2 \rightarrow A_1 + A_2 + X) = \int d\omega_1 \int d\omega_2 n(\omega_1) n(\omega_2) \sigma_{\gamma\gamma}(\hat{s}) \quad (1)$$

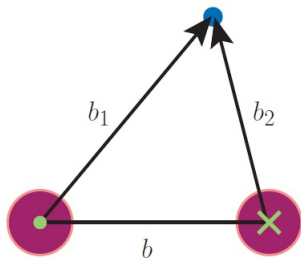
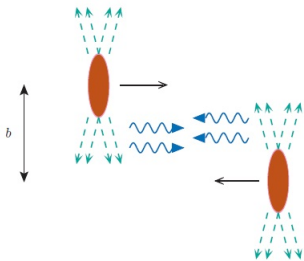
Na literatura podemos encontrar uma expressão diferente porém elas são iguais

$$\sigma(A_1 + A_2 \rightarrow A_1 + A_2 + X) = \int_0^1 dx_1 \int_0^1 dx_2 f(x_1) f(x_2) \sigma_{\gamma\gamma}(\hat{s}) \quad (2)$$

Onde $\hat{s} = 4\omega_1\omega_2$ para (1) e $\hat{s} = x_1x_2s$ para (2) e $x = \omega/E_{\text{feixe}}$

Fluxo de Fótons

Quando estamos tratando partículas relativísticas os campos eletromagnéticos comportam-se de forma diferente de um campo produzido por uma partícula em repouso.



Onde b é o parâmetro de impacto, em outras palavras é a distância entre as partículas. Para que a colisão seja periférica atribuímos um parâmetro de impacto mínimo $b_{min} \geq (R_1 + R_2)$ assim descartamos uma colisão frontal entre as partículas

Fluxo de Fótons

Para obter o fluxo de fótons partimos dos campos eletromagnéticos produzidos pelas partículas

$$\vec{E} = -\vec{\nabla}\phi - \frac{\partial\vec{A}}{\partial t} \quad (3)$$

$$\vec{B} = \vec{\nabla} \times \vec{A} \quad (4)$$

Se definirmos o quadrivetor $A^\mu = (\phi, \vec{A})$, podemos escrever os campos como componentes do tensor eletromagnético

$$F^{\mu\nu} = \partial^\mu A^\nu - \partial^\nu A^\mu \quad (5)$$

este tensor é antissimétrico e portanto os elementos diagonais são nulos. Sabendo como se transforma este tensor podemos saber como se transformam os campos eletromagnéticos.

$$F' = \Lambda F \Lambda^T \quad (6)$$

onde Λ é a matriz de transformação de Lorentz.

Então o que obtemos é que as componentes dos campos se transformam como

$$E'_1 = E_1$$

$$E'_2 = \gamma[E_2 - \beta B_3]$$

$$E'_3 = \gamma[E_3 + \beta B_2]$$

$$B'_1 = B_1$$

$$B'_2 = \gamma[B_2 + \beta E_3]$$

$$B'_3 = \gamma[B_3 - \beta E_2]$$

E as transformadas inversas são

$$E_1 = E'_1$$

$$E_2 = \gamma[E'_2 + \beta B'_3]$$

$$E_3 = \gamma[E'_3 - \beta B'_2]$$

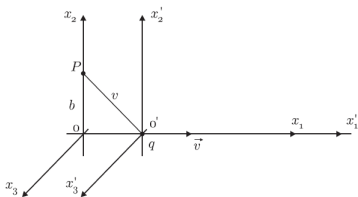
$$B_1 = B'_1$$

$$B_2 = \gamma[B'_2 - \beta E'_3]$$

$$B_3 = \gamma[B'_3 + \beta E'_2]$$

Fluxo de Fótons

Considerando uma carga que se move com velocidade \vec{v} constante e paralela ao eixo- x_1



$$\vec{B}' = 0 \quad , \quad \vec{E} = \frac{qr'\vec{r}'}{(r')^3}$$

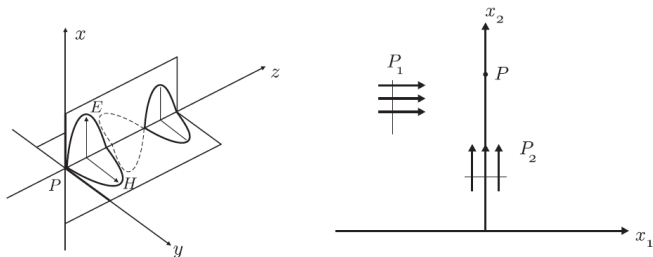
$$r' = \sqrt{b^2 + (vt')^2} \quad , \quad t' = \gamma(t - \beta x_1) = \gamma t$$

$$E_1 = -\frac{q\gamma vt}{(b^2 + (\gamma vt)^2)^{\frac{3}{2}}} \quad , \quad E_2 = \frac{q\gamma b}{(b^2 + (\gamma vt)^2)^{\frac{3}{2}}} = \gamma E_2'$$

$$B_3 = \beta E_2 = \frac{\gamma\beta qb}{(b^2 + (\gamma vt)^2)^{\frac{3}{2}}}$$

Fluxo de Fótons

Quando $\beta \rightarrow 1$ temos $E_2 = B_3$ e portanto para um observador localizado no ponto p , os campos são transversais e perpendiculares entre si. Por isso ele não consegue fazer uma distinção entre o campo elétrico produzido por uma partícula relativística carregada e o campo de um pulso de radiação.



Assim temos pulso P_1 , representado pelos campos E_2 e B_3 , deslocando-se pelo eixo- x_1 e um pulso P_2 , representa apenas pelo campo E_1 , deslocando-se pelo eixo- x_2 .

Fluxo de Fótons

Para determinarmos o número de fótons equivalentes, precisamos determinar o espectro de frequência que é dado por:

$$I_1(\omega, b) = 2 |E_2(\omega)|^2$$
$$I_2(\omega, b) = 2 |E_1(\omega)|^2$$

A transformação de $E(t) \rightarrow E(\omega)$ é feita pela transformada de Fourier.

$$E_1(\omega) = -i \frac{Ze}{\gamma b v} \left(\frac{2}{\pi}\right)^{\frac{1}{2}} \left(\frac{\omega b}{\gamma \beta}\right) K_0\left(\frac{\omega b}{\gamma \beta}\right)$$
$$E_2(\omega) = \frac{Ze}{b v} \left(\frac{\omega b}{\gamma \beta}\right) K_1\left(\frac{\omega b}{\gamma \beta}\right)$$

$$I_1(\omega, b) = \left(\frac{Ze}{\pi \beta}\right)^2 \frac{1}{b^2} \left(\frac{\omega b}{\gamma \beta}\right)^2 K_1^2\left(\frac{\omega b}{\gamma \beta}\right)$$
$$I_2(\omega, b) = \frac{1}{\gamma^2} \left(\frac{Ze}{\pi \beta}\right)^2 \frac{1}{b^2} \left(\frac{\omega b}{\gamma \beta}\right)^2 K_0^2\left(\frac{\omega b}{\gamma \beta}\right)$$

Fluxo de Fótons

A relação entre espectro de frequência e o espectro de fótons equivalentes é:

$$N(\omega, b) = \frac{1}{\omega} [I_1(\omega, b) + I_2(\omega, b)]$$

Ao definirmos $u = \omega b / \gamma \beta$ temos

$$N(\omega, b) = \frac{Z^2 \alpha_{em}}{\pi^2 \beta^2} \frac{1}{\omega} \frac{1}{b^2} u^2 \left[K_1^2(u) + \frac{1}{\gamma^2} K_0^2(u) \right]$$

Integrando sobre todos os parâmetros de impacto possíveis teremos enfim o fluxo de fótons

$$n(\omega) = 2\pi \int N(\omega, b) b db = \frac{Z^2 \alpha_{em}}{\pi \omega} [2Y K_0(Y) K_1(Y) - Y^2 (K_1^2(Y) - K_0^2(Y))]$$

$$Y = \frac{\omega b_{min}}{\gamma \beta} = \frac{x M b_{min}}{\beta}$$

$$f(x) = \frac{Z^2 \alpha}{\pi} \frac{1}{x} [2Y K_0(Y) K_1(Y) - Y^2 (K_1^2(Y) - K_0^2(Y))] \quad (8)$$

Se considerarmos o fator de forma para um hadron o fluxo de fótons é dado por:

$$f(x) = \frac{dn_\gamma}{dx} = \frac{\alpha Z^2}{\pi} \frac{1-x+1/2x^2}{x} \int_{Q_{min}^2}^{\infty} \frac{Q^2 - Q_{min}^2}{Q^4} |F(Q^2)| dQ^2 \quad (9)$$

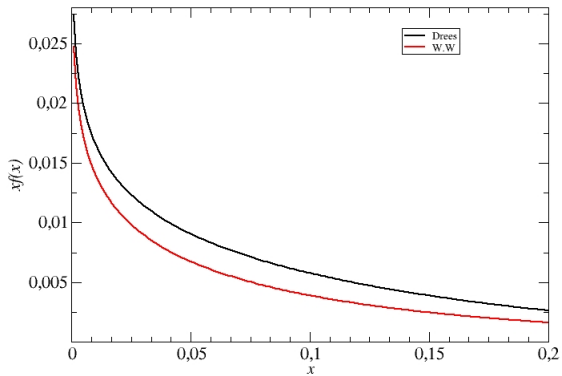
Onde Q^2 é o 4-momento transferido do projétil, que tem o fator de forma $|F(Q^2)|$ e Q_{min}^2 é o momento mínimo transferido, que para uma aproximação é dado por $Q_{min}^2 = (xM_A)^2/(1-x)$.

O espectro de fótons para prótons foi calculado por Drees e Zeppenfeld. Eles usaram o fator de forma de dipolo $F_E(Q^2) = 1/(1 + Q^2/0,71 \text{ GeV}^2)^2$ e encontraram

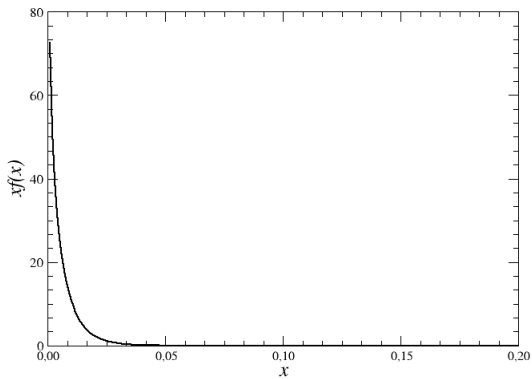
$$f(x) = \frac{\alpha}{\pi} \frac{1-x+1/2x^2}{x} \left[\ln(A) - \frac{11}{6} + \frac{3}{A} - \frac{3}{2A^2} + \frac{1}{3A^3} \right] \quad (10)$$

onde $A = 1 + 0,71 \text{ GeV}^2/Q_{min}^2$.

Próton



Íon (chumbo)



Tratamento dos monopólos

Em 1931 Dirac publicou um artigo onde ele mostrou que se considerarmos um solenóide infinitamente longo e fino nós podemos tratar suas extremidades como um monopólo magnético.

Neste mesmo artigo ele mostra que a existência de monopolos magnéticos explicaria a quantização da carga elétrica, através da relação:

$$eg = \frac{n}{2} \quad n = 1, 2, 3, \dots \quad (11)$$

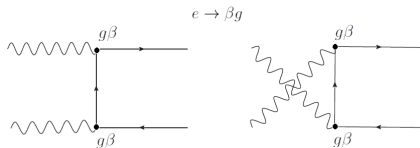
hoje em dia conhecemos esta expressão como condição de quantização de Dirac (DQC). Para $n = 1$ temos

$$g \sim 68.5e$$

Tratamento dos monopólos

Iremos tratar os monopólos como fermions assim como o elétron na QED, porém devido a DQC a constante de acoplamento é muito maior.

Os autores percebem que um monopolo interage com um elétron como um pósitron, e assim o acoplamento elétron-monopolo é βg



onde β é a velocidade do monopólo dada por

$$\beta = \sqrt{1 - \frac{4m^2}{\hat{s}}} \quad (12)$$

Seção de Choque de Fotoprodução

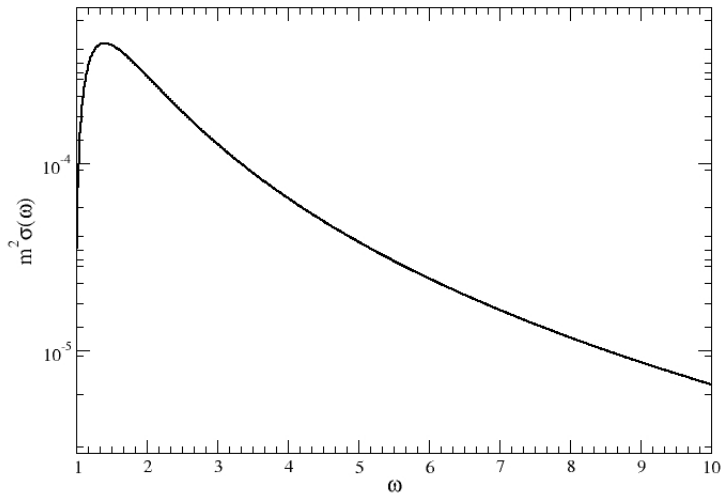
Seguindo a comparação com o elétron, usaremos a formula de Breit-Wheeler, que é seção de choque de produção de pares de partícula-antipartícula.

$$\sigma(\gamma\gamma \rightarrow m\bar{m}) = \frac{2}{\pi} \frac{\alpha_g^2}{m^2} (1 - \beta^2) \left[(3 - \beta^4) \ln \left(\frac{1 + \beta}{1 - \beta} \right) - 2\beta(2 - \beta^2) \right] \quad (13)$$
$$\alpha_g = \beta^2 g^2$$

O gráfico de $m^2\sigma(\gamma\gamma \rightarrow m\bar{m})$ em relação a $\omega = \sqrt{\hat{s}}/2m$. Assim a velocidade do monopólo pode ser escrita como

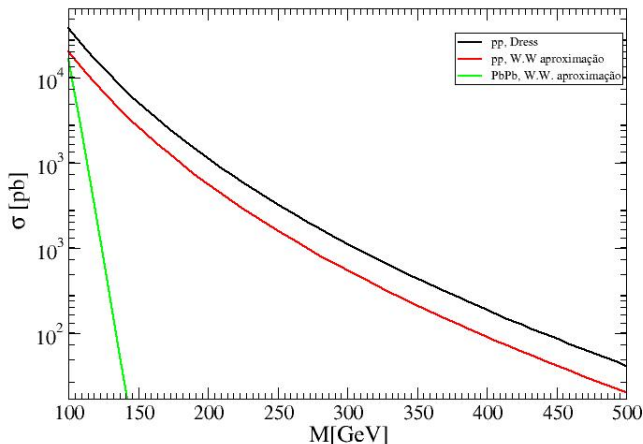
$$\beta = \sqrt{1 - \omega^{-2}}$$

Seção de Choque de Fotoprodução



Resultados Preliminares

Nós integramos a equação (2) utilizando os fluxos dados pelas equações (5) e (7) para energias de centro de massa de $\sqrt{s} = 14 \text{ TeV}$ para o próton e $\sqrt{s} = 5,5 \text{ TeV}$ para o chumbo.

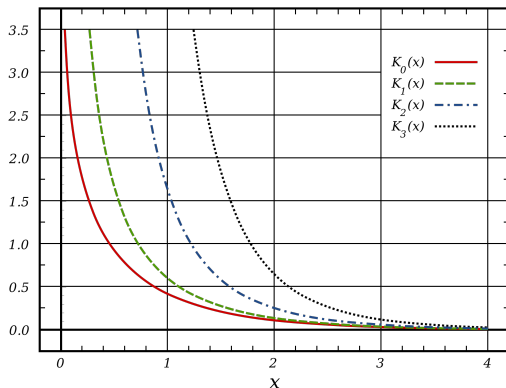


Conclusões

Nossos primeiros resultados nos dizem que a seção de choque é maior em colisões próton-próton do que em colisões chumbo-chumbo.

Isso já era esperado quando analisamos o fluxo de fótons para cada um dos casos.

Na aproximação de Weizsacker-Williams as funções modificadas de Bessel de segunda ordem $K_0(x)$ e $K_1(x)$ decaem rapidamente quando x aumenta.



- Quantized Singularities in the Electromagnetic Field - Dirac, Paul A.M. Proc.Roy.Soc.Lond. A133 (1931) 60-72 RX-722
- Sobre o Método de Weizsacker-Williams e suas Primeiras Aplicações - F. Caruso CBPF
- Coherent Particle Production At Relativistic Heavy Ion Colliders Including Strong Absorption Effects - Baur, G. et al. Nucl.Phys. A518 (1990) 786-800 Print-90-0313 (JULICH)
- Coherent $\gamma\gamma$ and γA interactions in very peripheral collisions at relativistic ion colliders - Baur, G. et al. Physics Reports 364 (2002) 359-450
- Looking for magnetic monopoles at LHC with diphoton events - Epele, Luis N. et al. Eur.Phys.J.Plus 127 (2012) 60 arXiv:1205.6120 [hep-ph]
- Introduction to Magnetic Monopoles - Rajantie, Arttu Contemp.Phys. 53 (2012) 195-211 arXiv:1204.3077 [hep-th] IMPERIAL-TP-2012-AR-2

O fluxo de fótons para o núcleo, onde consideramos um fator de forma é dado por:

$$N(\omega, b) = \frac{Z^2 \alpha_{em}}{\pi^2 \beta^2} \frac{1}{\omega} \frac{1}{b^2} \left[\int d\chi \chi^2 \frac{F\left(\frac{\chi^2 + u^2}{b^2}\right)}{\chi^2 + u^2} J_1(\chi) \right]^2$$

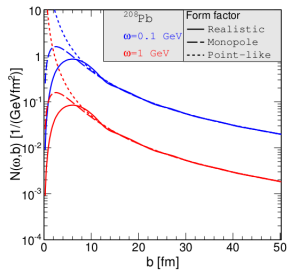
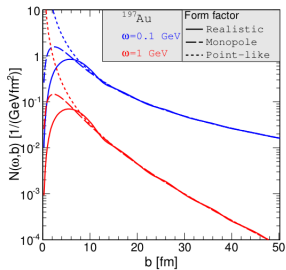
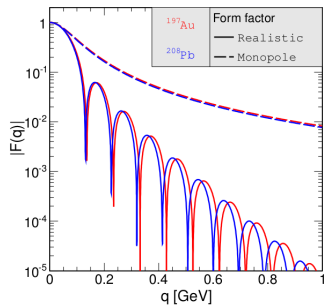
onde $\chi = k_{\perp} b$ e $F(\dots)$ é o fator de forma. Na literatura encontramos os seguintes:

$$F(q^2) = \frac{4\pi}{|q|} \int \rho(r) \sin(|q|r) r dr$$

$$F(q^2) = \frac{\Lambda^2}{\Lambda^2 + |q|}$$

$$\rho(r) = \frac{\rho_0}{1 + \exp\left(\frac{r-c}{a}\right)}$$

$$\rho(r) = \frac{1}{4\pi} \Lambda^2 \exp(-\Lambda r)$$



OBRIGADO PELA ATENÇÃO

APLAUSOS!

GERADORMEMES.COM